

哈尔滨工业大学

电力系统动态模拟
科学研究报告集

DIANLI XITONG DONGTAI MONI

1

1960. 3

电力系統动态模拟

(第一集)

編輯者：哈尔滨工业大学电力专业委员会

出版者：哈尔滨工业大学科学研究所

印刷者：哈尔滨工业大学印刷厂

第一次印刷 1—1500 册 定价 1.00 元

1950 年 3 月出版

目 录

前言.....	(1)
大型电机及变压器的物理模拟.....	(3)
原动机模拟研究报告.....	(21)
巨型同步电机不带电压变换机的励磁系統模拟試驗報告.....	(31)
交磁电机放大机作为負电阻使用的研究.....	(35)
三極管差动电路相位計.....	(45)
阴極射線式相位指示仪.....	(53)
电子管时间繼电器.....	(57)
电流互感器模拟.....	(59)
利用动态模拟法来研究电力系統自动控制問題.....	(65)

前　　言

电力系統动态模拟是研究电力系統运行問題的有力的試驗工具。由于1955年苏联考斯琴柯院士来华时所給予的支持以及我們自身的需要，我校于1956年即开始进行建立动态模拟实验室的研究工作。但由于仅只依靠少数人动手，因此进展很慢。五八年教育大革命以来，澎澎湧湧的群众运动在高等学校里开展起来，空气頓時轉变，过去几年沒有完成的东西，群众在几天几十天之内就完成了。我校的第一套动态模拟在当时也是全国第一套动态模拟，就是在这样的情况下于五八年“八一”誕生了。因此它是教育革命的产物，是党领导的革命群众运动的果实。

动态模拟实验室初步建立后，即开始为科研工作、为生产服务，在应用的过程中逐步提高質量。在五九年的一年中共进行过离子励磁系統的試驗、强力式調節器的試驗、新型整流式差动保护繼电器的試驗，阿城繼电器厂生产的330千伏高溫及距离繼電保護的鑑定試驗以及东北系統某部份的初步模拟等。我們把应用和模拟質量的改善結合起來，使我們的工作得到初步的开展。

为了开展动态模拟的工作，五九年上半國家給我們聘請了苏联博士叶尔莫林教授，在他的热情指导下，我們完成了全部动态模拟实验室的扩建的設計以及許多提高質量的研究工作。叶尔莫林专家的指导大大地推動了我們的工作，对此我們深为感激。

虽然我們在这方面初步地开展了一些工作，但水平还較低，尤其是我們的机组还很少，尚不能模拟較复杂的电力系統，在这方面还需要虚心認真地向兄弟单位学习。收集在这本小冊子里的是我們所进行的几个个别的工作，限于水平难免有錯誤和缺点。仅提出与国内兄弟单位交流，以便达到向各单位学习的目的。尚希各方面多加指导。

大型电机及变压器的物理模拟

电力系统的动态模拟近年来——特别是在苏联——有很大的发展，实践已经证明，它是研究电力系统和大型电机中不少复杂问题的有力工具之一。我国电机制造工业和电力工业，在党的正确领导下，已经取得了很大的成就，并正在飞速地发展着，在工业的发展中，提出了大量需要研究解决的问题，特别是建立以长江三峡电站为中心的全国统一动力系统的任务，已经提到日程上来后，就更迫切地要求在我国建立起一批动态模型实验室。

在我国关于动态模型方面的工作，最早是从1955年在我校开始进行的，第一套模型电机的设计在1956年初完成，由于某些原因，这台电机直到58年7月才制成，8月份就已经安装调整好投入运行了。

本文叙述模型发电机、模型变压器及发电机转子回路电阻补偿等问题。

一、模型发电机的设计

1. 对模型发电机的要求，设计模型发电机，就是要获得一个小容量的发电机，其电磁及机械参数与大容量发电机一样（用标么值表示时），具体说来就是要求各个回路的电阻和电抗，机组的机械惯性常数(H_m)和空载特性相同。正常系列小容量的同步电机不能满足这些要求，因为其各回路的电阻大大超过大型电机中的值。

关于模型电机的容量，我们不希望它太大，因为太大了做实验不方便，而且模型电机容量一大，相应地原动机模型、原动机的电源（当原动机是用直流机来模拟时）及负荷模拟等等都要增大，这样整套设备就很笨重和昂贵，从这方面来看发电机的容量应以大约不大于30伏安为宜，而且似乎是愈小愈好。但从另一方面来看，过小了也有坏处，太小以后使测量、使用继电器接触器及调节器等复杂化，这时为了不影响试验的准确性，常常要求另加放大环节，因此模型发电机有足够大的容量有它方便之处，例如3—5伏安以上。

另外，由于常常要求用一个模型电机来模拟许多不同的对象，要求模型电机的参数能在足够大的范围内变化，显然在能保证足够准确度和方便的条件下，参数能调节的范围愈大愈好（在需要的范围内）。

2. 确定模型发电机的主要尺寸和磁电负荷。

为了初步确定模型电机的主要尺寸和电磁负荷，可以从下面几个主要的相似条件出发。

$$(1) \text{ 直轴电枢反应电抗} \quad X_{ad}^{(m)} = X_{ad}^{(0)},$$

- (2) 机械惯性常数 $H_1^{(m)} = H_1^{(op)}$;
- (3) 激磁回路电阻 $r_t^{(m)} = k r_t^{(op)}$;
- (4) 空载特性 $E = f(I_t)$ 接近同步电机的标准空载特性;
- (5) 给定的模型发电机的容量。

其中：

上标 (m) 表示模型，(op) 表示模拟对象。

k 表示转子电阻补偿倍数。

如果是专用的模型，即有完全确定的模拟对象时，则 $X_{ad}^{(op)}$ 、 $H_1^{(op)}$ 、 $r_t^{(op)}$ 很容易确定。如果要求设计一个比较通用的模型电机，能模拟比较广泛的对象。那就需要从分析大型电机的参数着手，然后问题可以这样来解决： $H_1^{(op)}$ 选其中较小的值因为要增大 H_1 时可以加飞轮片，很容易实现（当然要获得负的转动惯量也是可以的，但要复杂得多，不方便）。 $X_{ad}^{(op)}$ 可以选几个不同的数值，设计几个不同的转子，将来可以换转子，以模拟不同的对象。 r_t 可以用负电阻机来补偿，一般能在相当大的范围内变化，但补偿倍数 (k) 不宜太大，一般 $k=3\sim 5$ 倍还较容易实现， k 过大时，为了获得足够的准确性，就必需采取特殊的线路，甚致难于实现，因此在设计模型电机时， r_t 也力求尽量小一些。

主要尺寸、电磁负荷与参数之间存在着下面的关系式（下面的式子可以直接用在三对极的凸极模型电机中，如果不是三对极的凸极机时，则式中的一些常系数要作适当的修正，公式的证明见附录）。

$$B_{st} \delta_{min} = 1.6 \tau^2 \quad (1)$$

$$X_{ad} = 0.4 \frac{A}{B_{st}} \cdot \frac{\tau}{\delta_{min}} \quad (2)$$

$$H_1 = 3300 \frac{\tau^2}{AB_{st}} \quad (3)$$

$$r_t = \frac{1}{0.045} \cdot \frac{l_e/l_t \cdot A}{\tau^2 \cdot B_{st}} \quad (4)$$

$$l_t = \frac{0.71 \tau}{l_e - 1} \quad (5)$$

$$P = 39.4 \cdot 10^{-10} \tau^2 l_t AB_{st} \quad (6)$$

从 (1) ~ (6) 式很容易得出：

$$A = 4\tau X_{ad} \quad (7)$$

$$B_{st} = 825 \frac{\tau}{X_{ad} H_1} \quad (8)$$

$$\delta_{min} = 0.00194 \tau H_1 X_{ad} \quad (9)$$

$$\frac{l_e}{l_t} = 9.3 \frac{r_t \tau^2}{X_{ad}^2 H_1} \quad (10)$$

$$l_t = \frac{0.71 \tau}{\left(9.3 \frac{r_t \tau^2}{X_{ad}^2 H_1} - 1 \right)} \quad (11)$$

$$P = 9.2 \cdot 10^{-6} \frac{\tau^5}{\left(9.3 \frac{r_t \tau^2}{X_{ad}^2 H_1} - 1 \right) H_1} \quad (12)$$

用式 (7) — (12)，在給定 X_{ad} 、 H_1 和 r_t 的条件下，給出一系列的“ τ ”，可以設
計出一系列容量不同的模型电机来，在这些电机中可以找到一个最小的容量 (P_{min})，
再小于此容量，就不能滿足給定参数的要求。如果讓 r_t 、 X_{ad} 和大型电机一样， H_1 取
大型电机中一般的值，则模型电机的容量将太大，例如由图 (1) 可以看出，当 $r_t =$
 0.005 ， $X_{ad} = 0.725$ ， $H_1 = 6$ 秒时， $P_{min} \approx 175$ 仟伏安 (对应于 $\tau_m = 38$ 厘米， $p = 3$)。
这样的容量对实验室來講显然是太大了，但如果讓 r_t 的值大一些， P_{min} 的值很快下降。
例如 $r_t = 0.002$ 时，可得 P_{min} 約为 5 仟伏安。

前面的公式及討論可以用来帮助初步确定模型电机的主要尺寸。

3. 关于其他相似条件的滿足及参数的改变。模型电机的定子电阻，可以用增大定
子外徑，增加定子用銅的办法来減小，在模型水輸发电机中，甚至可以达到比模拟对象
还要小的程度。

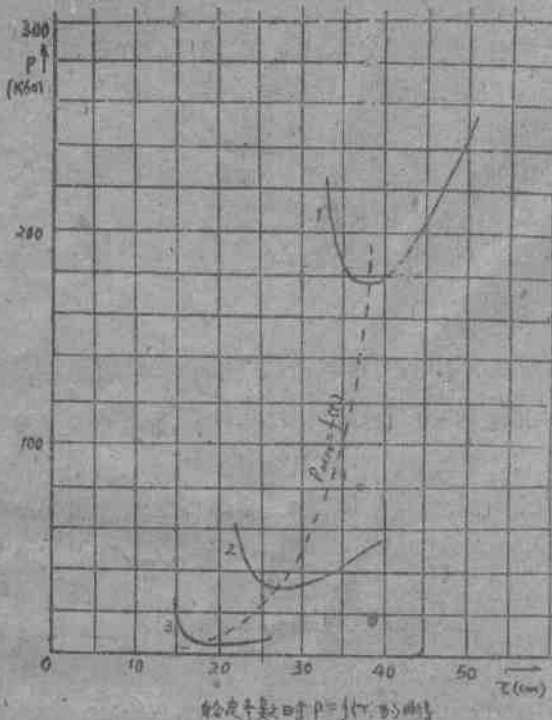


图 1

曲綫：

$$\begin{aligned} 1. \quad & H_1 = 6 \text{ 秒} \\ & X_{ad} = 0.725 \end{aligned}$$

$$\gamma_t = 0.0005$$

2. $H_i = 6$ 磁

$$X_{ad} = 0.0010$$

3. $H_i = 6$ 磁

$$X_{du} = 0.725$$

$$\gamma_t = 0.0020$$

由于模型电机的 A 很小 (A/B_{st} 小)，如果采用一般电机的定子槽形，则定子漏抗 (X_u) 将太小，为此必须设法人为地增大定子漏磁导，如把定子槽做成半闭口的(这与减少转子表面损耗的要求是一致的)，且使槽顶缝隙很长，即使这样， $X_u^{(m)}$ 比起 $X_u^{(D)}$ 还是常常偏小，要求在定子回路内再附加可变的低电阻电抗器(例如 $R/X < 0.05$)，这样还可以使定子漏抗能在一定的范围内改变。

由于模型电机的主气隙常很小，采取一般的转子结构时，设计出的电机，激磁绕组漏抗 X_{te} 将很小，故设计时，应设法增大极间漏磁导。例如减小相邻极尖间的距离，这一点与要求获得足够大的 X_u 值(或一定的 X_u/X_{te} 值)的要求也是一致的，同时转子回路内还可以加可变的低电阻电抗器(例如 $R/X < 0.01$)，使 X_{te} 达到所要求的值，并使它能在一定的范围内变化，但外加电抗不能太大(定子回路也一样)，因为外电抗必然加进了不少电阻，故受到补偿倍数的限制。

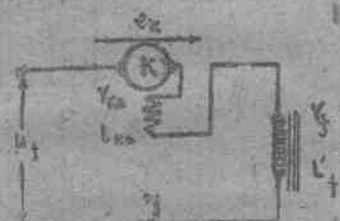
阻尼笼的参数，可以在选择阻尼条的截面积和槽形时考虑，一般阻尼槽顶的缝隙也需要做得深而深，或者采用磁性槽楔，以获得足够的漏抗值。阻尼槽可以做成能拆换的结构，这样可以使其参数在更广泛的范围内改变。

另外，模型电机的额定容量 P 也是一个计算值，在使用时可以略加变化，以便其参数(主要是 X_{ad} 、 X_{eq}) 的标么值更接近被模拟的对象，但由于这时所有的参数都同时改变，故互相受到牵制，不能作幅度太大的变化，例如受定转子回路漏抗、机械惯性常数模拟条件的限制等。

二、转子回路电阻的补偿和负电阻机

前面已经讲过，要求模型电机激磁回路的电阻，不经过补偿，就达到象大容量电机那么小，又要求模型电机的容量足够小，而且满足其他模拟条件的要求，常常是达不到的，因此就要求在模型电机的激磁回路内加入负电阻元件，使得激磁回路电阻的补偿成为大型电机物理模拟中的基本问题之一。我们对负电阻元件的基本要求是在稳态及过渡过程中，它两端的电势和通过它的电流成正比(在一定的电流变化范围内)。在容量较大的模型电机中(如 5—30 仟伏安)，负电阻元件都是采用电机，可以用串激整流子电机(串激直流电机)，交磁电机放大机或带有调节器的他激直流电机等，以下就我们将采用的二种分别加以讨论。

1. 作为负电阻机用的串激整流子电机。如图(2)的电路，其方程式为：



(k): 负电阻机;
 r_{ka} 、 L_{ka} : 负电阻机电枢和串激线圈的
等值电阻和电感

$$u_t + e_k = i_t(r_t + r_{ka}) + (L'_t + L_{ka}) \frac{di_t}{dt}$$

若

$$e_k = k' i_t$$

$$L_{ka} \gg L'_t$$

則上式為：

$$u_t \approx i_t[r_t - (k' - r_{ka})] + L'_t \frac{di_t}{dt}$$

與沒有 (k) 的情況時

$$u_t = i_t r_t + L'_t \frac{di_t}{dt}$$

比起來，當 $r_{ka} < k'$ 時，很明顯 (k) 在這裡相當於一個負電阻，負電阻的大小為 $(k' - r_{ka})$ 。補償倍數

$$k = \frac{r_t}{r_t - (k' - r_{ka})}$$

為了得到較高的補償倍數，且有較高的準確性，對負電阻機應採取上面的一系列措施：

(1) 磁路在要求的電流變化範圍內應不飽和，為此應選擇比一般電機低得多的磁密。

(2) 為了使得在過渡過程中，其電勢的變化仍與電流成正比，不發生滯後作用，必需使磁路中的渦流作用減到很小，故其全部磁路都應由矽鋼片疊成。

(3) 磁滯環必需極小，這一點可以由採用特殊的振動線圈來達到，振動線圈的布置應這樣，它能在磁路的各部分產生脈動的磁場，但不在電磁回路內產生另外的電勢，與各線圈間的總互感都為零。

(4) 為了使 r_{ka} 為一個比較小的穩定的常數，可採取下列辦法：用低接觸電阻的電刷；用補償繞組和附加極，以減小軸電機反應和換向電流電機反應的非線性影響；電流密度取得低一些，以減小由溫度變化而引起的電阻變化。

(5) L_{ka} 不應大，這一點一般容易滿足的，因為同步電機激勵回路的電流很大，另外串激繞組的匝數應可以改變，以便调节負電阻的大小。

我們做的一台負電阻機是利用 3MY-25 的沖片和全部零件，只改變了定轉子線組做成的，其定子線組布置如圖 3、圖 4 和圖 5 是他的空載特性和負載特性。對振動線圈進行較詳細的試驗后看出：(負電阻機由異步電動機帶動的)

(1) 在振動線圈中通入 50 過/秒的交流電時，負電阻機的電勢中有一個脈動的分量，因此是不好的，通入 60 或 70 過/秒的交流電時，就很穩定，沒有這種現象。

(2) 齒振動線圈的作用很小，故可以不用，這樣可使電阻機的結構簡化，並使有效材料利用好一些。

(3) 振動線圈不僅能使磁帶回環變窄，且能使激磁特性的起始部分（低磁密部分）變直，這是很有利的。另外振動線圈通交流時，對磁路的平均磁導也有些影響，在

磁路不饱和的情况下通入不大的交流振动电流时，平均磁导略有增加。此现象在这里是次要的。

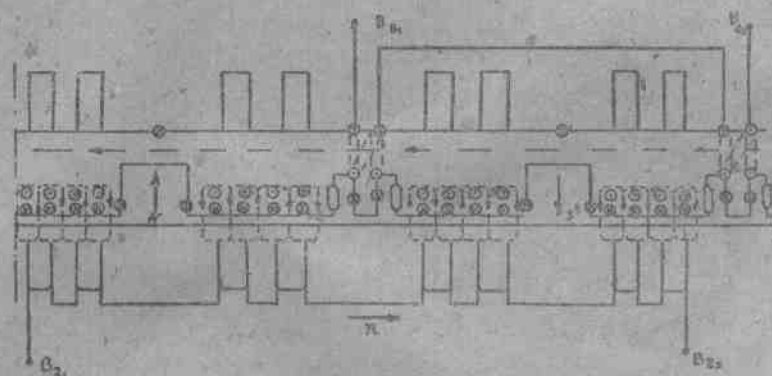


图 3 负电阻机 K-250 定子绕组布置图

Γ. II. 主极绕组；

Δ. 附加极绕组；

Κ. 补偿绕组；

B_{11}, B_{12} 颤部振动线圈；

B_{21}, B_{22} 齿部振动线圈。

註：也可以把 B_{11}, B_{12} 放在图中(a)(a)的部位。試驗結果表明，在冰电机中取消 B_{11}, B_{12} 更合理。

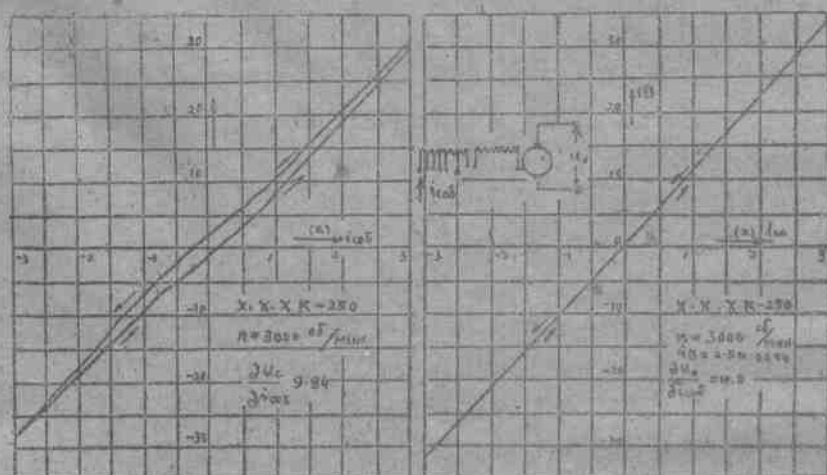


图 4 负电阻机的空载特性

左图：颤振动线圈电流 $i_B=0$ 齿振动线圈电流 $i_O=0$ 。

右图：颤振动线圈电流 $i_B=2.5$ 安 60週/秒，齿振动线圈电流 $i_O=0$ 。

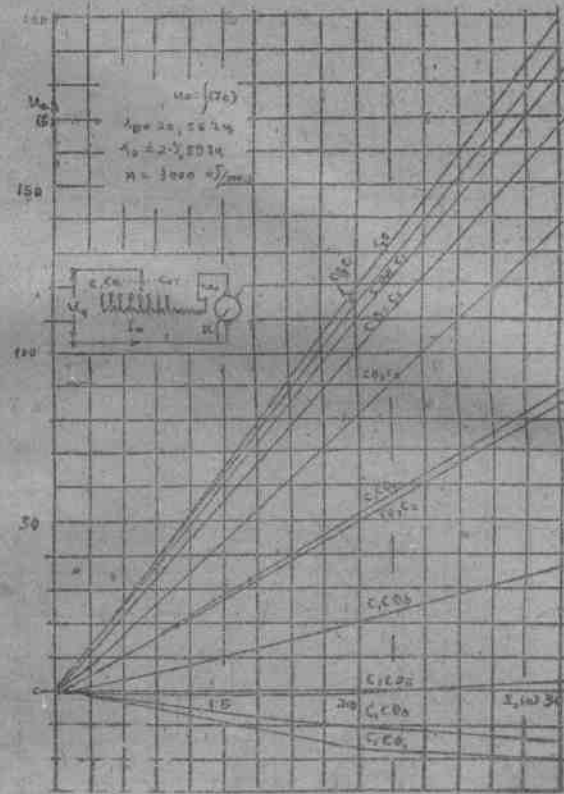


图 5

这台负电阻机，可以使模型发电机MS—18定子开路时的直轴过渡时间常数 T_{do} 达到6秒以上^[7]。

2. 交磁电机放大机用作负电阻机。交磁电机放大机带电流正反馈时，也可以得到和串激整流子电机一样的负电阻特性，用很强的电压负反馈可以使磁滞回环变得很窄，而且可以减少电枢回路等值电阻不稳定的影响。经过较详细的分析可以知道，放大机各回路的时间常数，特别是交轴回路的时间常数，对激磁电流突然改变的过渡过程有一些影响，要想使这种影响减小到不能觉察的程度，可以在交轴回路内串入一些电阻，使能满足下面的式子就可以了，即：

$$T \approx \frac{2T_{12}T_q}{T_{12} + T_q} \leq 0.006 - 0.010 \text{秒}$$

其中 T_q ——放大机交轴回路的时间常数；

$$T_{12} = T_1 + T_2$$

T_1 ——作电流正反馈用的控制绕组的时间常数；

T_2 ——作电压负反馈用的控制绕组的时间常数。

試驗的結果證明，这种未經任何改装的交磁电机放大机作负电阻元件使用时，可以使模型电机激磁回路的时间常数增大3—5倍。^{[5][6]}

交磁电机放大机加上振动线圈后，作为负电阻元件使用的性能还可以进一步改善，振动线圈可以绕在放大机的轭上，一般有30~50安匝也就足够了，图(6)是加振动线圈通入电流后对放大机空载特性影响的示例。

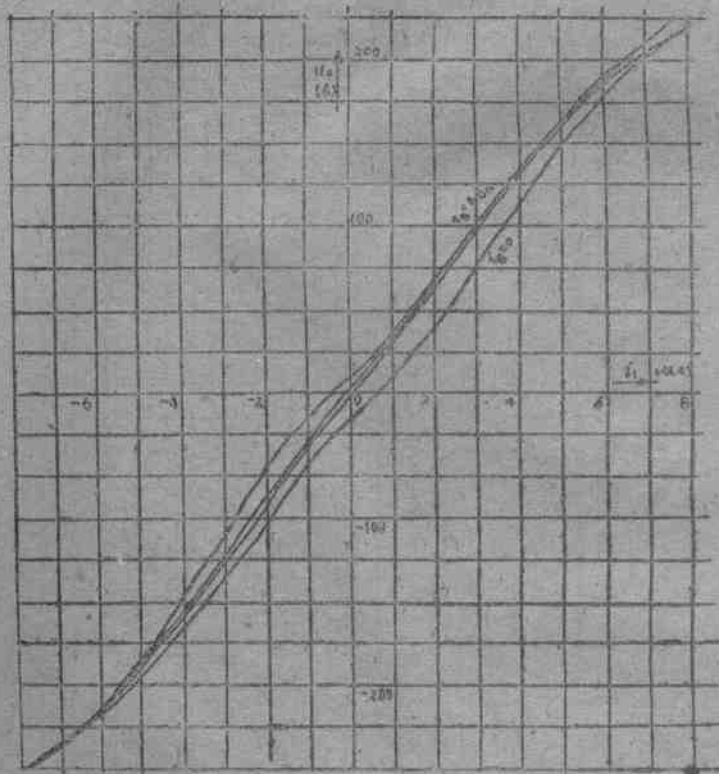


图 6 QMY-50 的空载特性
 I_v : 轧振动线圈电流，每块振动线圈共 10 匝。

3. 关于电压变换机。在模型电机中，励磁电压常不是直接加在激磁绕组上的，而是通过一个所谓电压变换机再加到发电机的激磁回路中，如图 7。这样做好处是方便灵活，使得一个模型发电机有可能采用各种不同电压的激磁，如用不同电压的激磁机或采用离子励磁等都可以，只要改变一下电压的磁场电阻 R_{th} 就可以了。

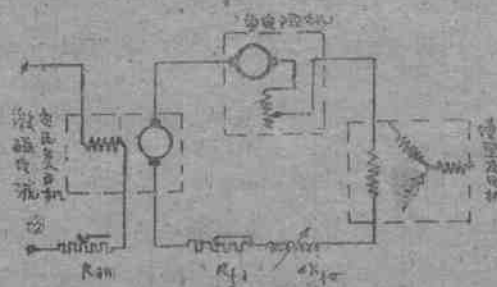


图 7 模型发电机的激磁回路

电压变换机实际上是一个变比可调的直流变压器，对他的要求主要是变压比的线性，同时它串联在发电机的激磁回路内，也要求它电枢回路的等值电阻不稳定的影响很小，为此对它也应采取在负电阻机中所采用的一系列措施，即取低的电磁负荷；叠片的磁路；振动线圈 补偿绕组；附加和低接触电阻电刷等。

另外，电压变换机和负电阻机也可以合併在一起，用放大机做负电阻机时，放大机同时也可以用作电压变换机，即模型发电机的激磁电源可以加在放大机的一个控制线圈上。

三、模型变压器的设计

1. 对模拟变压器的要求。用来研究电力系统内稳定及过渡运行情况的模型变压器，要求满足下列相似判据：

- (1) 短路损耗 $p_k\% = idem$;
- (2) 空载损耗 $p_0\% = idem$;
- (3) 短路电压 $u_k\% = idem$;
- (4) 激磁电流及其非线性特性。

$$I_o\% = idem, \quad u_o\% f(I_o\%) = idem.$$

在研究不对称运行的问题时，还要求另序电抗 $X_o = idem$ 。

仔细分析上述相似判据和变压器尺寸之间的关系后，可以得出下面的结论：即用小容量的，体积和重量为实验室条件所容许的小变压器去模拟电力系统中的巨型变压器，要求完全满足上述相似判据，在采用相同材料和不提高模型频率的条件下，是达不到的。

用研究电力系统动态稳定等问题的模型变压器，可以先不考虑 $u_o\% = f(I_o\%)$ 的条件，首先使它满足 $p_k\% = idem$ 的条件，并使 $p_0\%$ 和 $I_o\%$ 尽量的小，即尽量与模拟对象接近，一般由于模拟变压器的磁路常是不饱和的，故激磁电流满足相似条件的程度比空载损失要好一些。 $p_0\%$ 比大变压器的大 4—6 倍以内还认为是容许的〔7〕。 $u_k\%$ 的条件可以由改变绕组的排列，改变每铁心柱上安匝不对称的程度来满足，或者人工地加大漏磁导，例如加磁分路等。

2. 模型变压器最好几何尺寸比的讨论。由上面的讨论可以看出，设计模型变压器的任务，是在满足 $p_k\% = idem$ 和限定总重量 ($\Sigma G = G_{cu} + G_{te}$) 的条件下，获得使 $p_0\%$ $I_o\%$ 尽量小、 $u_k\%$ 能满足要求的小容量变压器。

50 频/秒 单相二绕组的变压器，其铁损与几何尺寸比之间的关系可以用下式来表示（证明见附录II）：

$$p_0\% = \frac{0.17 p_{10}}{p_{cu}\% \Sigma G^2 / 3} \cdot \eta(k_a, k_d, k_i) \quad (13)$$

$$\eta(k_a, k_d, k_i) = \frac{1 + \frac{k_a}{k_i} + \frac{2k_d}{k_i}}{k_a} \cdot \frac{2k_d + k_a}{k_d^2} \left[9.8k_d^2 (1 + k_i k_a + 2k_i k_d) + \right. \\ \left. + 5.6k_a(2k_d + k_i) \right]^{2/3} \quad (14)$$

其中

$p_{cu}\%$ 主銅損

p_{re} 磁密 $B=10,000$ 高斯时的比鐵損 (瓦/公斤)。

$$k_a = \frac{a}{l}$$

$$k_d = \frac{d}{l}$$

$$k_1 = \frac{\text{轭的截面积}}{\text{铁心柱的截面积}} = \frac{A_1}{A_e}$$

a, l, d, A_1, A_e 見圖 8。

P_{re} 由所用的磁性材料決定，在給定 ΣG 和 $p_{cu}\%$ 時，顯然：

$$p_r\% = \varphi(k_a, k_d, k_1)$$

由式(14)，在給定某一 k_1 值時，變化 k_a, k_d 的值，可以找到一個 φ 的最小值 (φ_m) 及對應于此 φ_m 的 k_{am} 和 k_{dm} 。圖 (9) 約出 $\varphi_m, k_{am}, k_{dm} = f(k_1)$ 的曲線，由曲線上可以看出， k_1 略大於 1 時， φ_m 相當迅速地減小，在 $k_1 = 2.5, k_a = 0.5, k_d = 0.4$ 時， φ_m 為最小。

但是由於在推導公式時，沒有考慮到轭內磁密分布的不均勻，所以上面的式子和討論只有在 k_1 不很大時才是正確的，而且考慮到

$$p_k\% = p_{cu}\% + p_{re}\%$$

其中 $p_k\%$ 是短路時的附加損耗。

當 k_1 增大時，模型變壓器的用銅量減少，用鐵量增加，特別是轭部分用鐵量大大增加，這將使 $p_{re}\%$ 增大，因此模型變壓器合理的幾何尺寸比應該是：

$$k_1 \approx 1.3$$

$$k_a \approx 0.35$$

$$k_d \approx 0.35$$

3. 計算公式。確定幾何尺寸以後，就可以用下面的公式來計算求出模型變壓器的主要尺寸和電磁負荷。

$$\frac{l}{10} = \left[\frac{\Sigma G}{9.8k_d^2(1+k_1k_a+2k_1k_d)+5.6k_a(2k_d+k_a)} \right]^{\frac{1}{2}} \quad (15)$$

$$d = k_d l \quad (16)$$

$$a = k_a l \quad (17)$$

$$A_1 = k_1 A_e \quad (18)$$

$$\frac{B}{10000} = \left[\frac{0.48P}{2.8p_{cu}\%} \cdot \frac{2k_d+k_a}{k_a k_d^2} \left(\frac{10}{l} \right)^5 \right]^{\frac{1}{2}} \quad (19)$$

$$\frac{\Delta}{100} = \frac{p_{cu}\%}{0.48} \cdot \frac{k_d^2}{2k_d+k_a} \left(\frac{B}{10000} \right) \left(\frac{l}{10} \right) \quad (20)$$

式中 l, a, d 的單位為厘米；

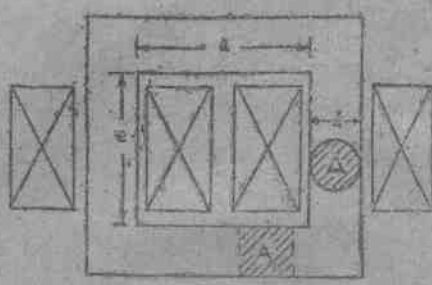


图 8

B ——高斯；
 Δ ——安/厘米²；
 P ——仟伏安；
 ΣG ——公斤。

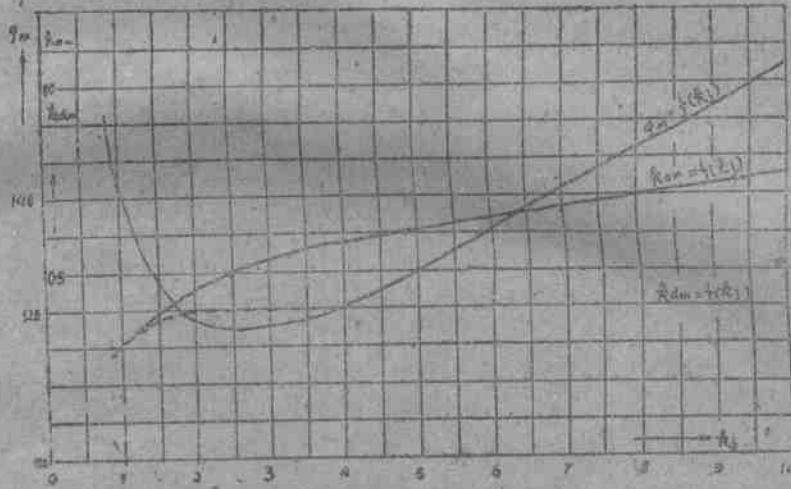


图 9

另外当模型线路电压不高时，模拟变压器可以做成自耦变压器的型式。在特殊情况，当模型线路的电压和发电机电压一样时，这种自耦变压器就变成一个“T”形的电路，如图（10）这使变压器的模拟大大简化。但线路电压的选择还要考虑其他的問題，例如接触电阻的影响等。

最后关于模型变压器的结构另件应避免采用铁的，因为否则会使短路損耗大大增加。因此模型变压器的铁心夹件、拉紧螺杆等应用木或胶木板及黄銅等材料制造。

附 錄 1：公式①—④的證明

1) 根據飽和特性不变的条件，空气隙的磁位降大致应占每个磁極磁勢(安匝)的某一固定部分，即

$$F_s = k_1 F_{\text{air}} \quad (k_1 < 1) \quad (I-1)$$

或

$$\frac{k_c \delta_{\min} B_s}{W_0} = k_1 S_{\text{cut}} j_1$$

在我們設計的模型电机中，齒靴形状取得使方形波磁勢所产生的气隙磁密分布是接近正弦的，故

$$B_s = B_{s1}$$

式中 S_{cut} — 每極激磁繞組銅的截面積；

j_1 — 激磁繞組的電密；

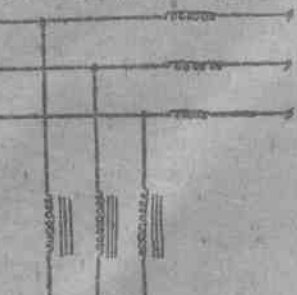


图 10

k_c —— 卡氏系数。

$$\text{显然 } S_{\text{cut}} = \frac{\pi D^2}{4} \cdot R_2 \cdot \frac{1}{2p} = \frac{\pi^2 D^2}{2\pi} = \frac{k_3 p}{2\pi} \tau^2$$

$$\text{故 } B_{s1} \delta_{\min} = \frac{\mu_0 k_1 f_t}{k_c} \cdot \frac{k_2 p}{2\pi} \tau^2 = l k_2 \tau^2 \quad (I-1')$$

由统计一些 $p=3$ 的模型水轮发电机得出 $k_3 \approx 1.6$ 。

(2) X_{ad} 的标么值等于定子通过额定电流的磁势，作用在直轴方向所产生的气隙基波磁密最大值，与额定转速时在定子绕组内产生额定电压时的气隙基波磁密最大值 (B_{s1}) 之比即：

$$X_{ad} = \frac{\mu_0 F_a \cdot k_d}{k_c \cdot \delta_{\min}} \cdot \frac{1}{B_{s1}} \quad (I-2)$$

$$F_a = \frac{1}{2} \times \frac{3}{2} \sqrt{2} I_a S_a q k_{os} \frac{1}{\pi} = \frac{\sqrt{2}}{\pi} k_{os} A \tau$$

$$\therefore X_{ad} = \frac{k_d \cdot 0.4 \sqrt{2} k_{os}}{k_c} \cdot \frac{A}{B_{s1}} \cdot \frac{\tau}{\delta_{\min}} = k_4 \frac{A}{B_{s1}} \cdot \frac{\tau}{\delta_{\min}} \quad (I-2')$$

F_a 为定子每极电枢反应磁势 (基波)

k_d 为当直轴加上正弦磁势时，气隙基波磁密最大值与实际磁密最大值之比。

在我们这种结构的模型水轮发电机中：

$$k_d \approx 0.85$$

$$k_{os} = 0.92 \sim 0.925$$

$$k_c = 1.1 \sim 1.15$$

$$k_4 \approx 0.4$$

(3)

$$P = 3 \times U I \times 10^{-3}$$

$$U = 4.44 f w k_{os} \times \frac{2}{\pi} \times \tau l_t B_{s1} \times 10^{-3}$$

$$I = \frac{p \tau A}{3w}$$

$$P = 14.2 \times 10^{-10} \tau^2 l_t p k_{os} \times A B_{s1} \quad (I-3)$$

$$P \approx 39.4 \times 10^{-10} \tau^2 l_t A B_{s1} (k_{os} = 0.92, p = 3), \quad (I-3')$$

$$(4) \quad H_t = 2.74 \frac{G D^2 n^2 \times 10^{-6}}{P} \quad (I-4)$$

$$G = \frac{\pi D^2}{4} l_t k_t = \frac{p^2 k_t}{\pi} l_t \tau^2$$

$$P = 14.4 \times 10^{-10} \tau^2 l_t p k_{os} \times A \times B_{s1}$$

$$G D^2 = \frac{p \tau^2 l_t k_t \tau}{\pi} \times \left(\frac{2 p \tau}{\pi} \times k_t \right)^2 = \frac{4}{\pi^3} \tau^4 p^4 k_t l_t$$

$$n = \frac{60j}{p}$$